

دراسة امتزاز شوارد الكروم السادس على سطح الفحم المنشط المحضر من مخلفات نبات العصفر

أحمد طكو، د. هاني زيدان

كلية العلوم، قسم الكيمياء، جامعة إدلب

الملخص:

دُرس امتزاز شوارد الكروم السادس على سطح الفحم المنشط المحضرة في مخابر كلية العلوم من مخلفات نبات العصفر والمنشط بنسب مختلفة من هيدروكسيد البوتاسيوم (1:4-1:3-1:2-1:1) (KOH:فحم) أجريت عملية التنشيط عند درجة حرارة $^{\circ}\text{C}$ (700)، إذ بلغت سعة الامتزاز قيمة عظمى عندما تكون نسبة التنشيط (1:4) (KOH:فحم). دُرست منحني الامتزاز متساوي درجة الحرارة وتبيّن ان امتزاز شوارد الكروم السادس على الفحم المنشط يجري وفق نموذج فرننلش. درست الشروط التجريبية المُثلى المؤثرة على امتزاز شوارد الكروم السادس على الفحم المنشط من زمن التلامس وpH المحلول ودرجة حرارة الوسط وكمية الفحم المستعمل وتركيز شوارد الكروم السادس وتبيّن أن الامتزاز يكون أفضل ما يمكن في الأوساط الحمضية وبدرجة حرارة الغرفة كما تبيّن أن كمية الفحم 0.05g أعطت أفضل قيمة للامتزاز.

الكلمات المفتاحية: الكروم السادس، الفحم المنشط.

Study of Hexavalent Chromium Ion Adsorption on the Surface of Activated Carbon Prepared from Safflower Plant Waste

Ahmed Tukko, Hani Zidan

Faculty of Science, Department of Chemistry,
Idlib University.

Abstract:

In this research, the adsorption of hexavalent chromium ions on the surface of activated carbon prepared in the laboratories of the Faculty of Sciences from safflower plant waste and activated with different ratios of potassium hydroxide (KOH:Carbon) (1:1-1:2-1:3-1:4) was studied. The activation process was carried out at a temperature of 700°C, where the adsorption capacity reached its maximum value when the activation ratio was (1:4) (KOH:Carbon). The isothermal adsorption curves were studied and it was found that the adsorption of hexavalent chromium ions on the activated carbon follows the Freundlich model. The optimal experimental conditions affecting the adsorption of hexavalent chromium ions on activated carbon, including contact time, solution pH, medium temperature, amount of carbon used, and concentration of hexavalent chromium ions, were studied. It was found that the adsorption is best in acidic media at room temperature, and that the amount of 0.05g of carbon gave the best adsorption value.

Keywords: Hexavalent Chromium, Activated Carbon.

المقدمة:

يعد الماء عنصراً من العناصر الأساسية في إدامة الحياة، وتلوث المياه أحد أخطر المخاوف البيئية نظراً للأثر الذي تؤديه المياه في حياتنا (Ali et al., 2021). تلوث المياه بالمعادن الثقيلة هو مشكلة بيئية وصحية خطيرة، والمعادن الثقيلة مثل الرصاص، الزئبق، الكادميوم، والزرنيخ، والكروم، والمعادن الثقيلة يمكن أن تكون سامة حتى بتركيزات منخفضة، ولها تأثيرات صحية خطيرة (Corral-Bobadilla et al., 2021) الرصاص يمكن أن يسبب تلف الجهاز العصبي، مشاكل في النمو، وفقر الدم والزئبق يمكن أن يؤدي إلى تلف الجهاز العصبي، الكلى، والجهاز المناعي والكادميوم يمكن أن يسبب مشاكل في الكلى، العظام، والجهاز التنفسى والكروم يمكن أن يسبب مشاكل صحية خطيرة مثل السرطان وأمراض الكلى والكبد.

تلوث الماء بالكروم:

يعد تلوث الماء بالكروم مشكلة بيئية خطيرة تؤثر على صحة الإنسان والحياة البرية. الكروم هو عنصر كيميائي يمكن أن يوجد في عدة أشكال، وأكثرها شيوعاً هما الكروم الثلاثي (Cr(III)) والكروم السادس (Cr(VI)). الكروم السادس هو الأكثر سمية ويمكن أن يسبب مشاكل صحية خطيرة مثل السرطان وأمراض الكلى والكبد. (Miretzky & Cirelli, 2010)

من أنواع تلوث الماء بالكروم الكروم الثلاثي (Cr(III)) يعد أقل سمية ويمكن أن يكون ضرورياً بكميات صغيرة في النظام الغذائي البشري يتكون عند درجة حرارة 3.6%. والكروم السادس (Cr(VI)) شديد السمية ويمكن أن يسبب مشاكل صحية خطيرة عند التعرض له. (Miretzky & Cirelli, 2010)

هناك العديد من العمليات التي يمكن أن تكون فعالة لإزالة هذه الملوثات السامة من البيئات المائية (Reza et al., 2020; Yunus, 2022) منها:

الترسيب: تجري في هذه العملية إزالة الجسيمات الصلبة من المياه عن طريق تركها تترسب في قاع الحوض.

الترشيح: تمرير المياه عبر مواد مسامية مثل الرمل أو الفحم النشط لإزالة الجسيمات الدقيقة.

التعقيم: تستعمل مواد كيميائية مثل الكلور أو الأشعة فوق البنفسجية لقتل البكتيريا والفيروسات.

التناضج العكسي: يستعمل في هذه العملية غشاء نصف نفاذ لإزالة الأملاح والمعادن من المياه.

الامتزاز: تستعمل مواد مثل الفحم النشط لإزالة المواد العضوية والملوثات الكيميائية من المياه (Ali et al., 2021).

اقترن الامتزاز بشكل عام ليكون واحداً من أكثر طرق الفصل الفعالة لإزالة المواد الخطرة مثل الأصياغ الاصطناعية والمعادن الثقيلة ومبيدات الآفات بسبب كفاءتها العالية، بساطتها، واستهلاكها المنخفض للطاقة. الامتزاز أو الامتصاص (صلب-سائل): هو تراكم ذرات أو جزيئات مادة سائلة (الممتاز) على سطح مادة صلبة (الماز). من أهم الخطوات في العملية اختيار مادة مازة مناسبة، ويعود الكربون المنشط مادة صلبة مسامية تمتلك مساحة سطحية داخلية كبيرة وتركيباً مسامياً متطرضاً (K. HAMMOUD et al., 2022)، ونتيجة لامتلاك هذا الصفات جعل منه مادة ذات سعة امتراز عالية للعديد من المواد الكيميائية الغازية منها والسائلة، وتبلغ المساحة السطحية النوعية للكربون المنشط عادتاً $300-2000 \text{ m}^2/\text{g}$ وأحياناً قد تصل حتى $5000 \text{ m}^2/\text{g}$ (Hussein et al., 2023)، يستعمل الفحم المنشط على نطاق واسع لفوائده الصحية وتطبيقاته المختلفة، إذ يستعمل لإزالة المواد الخطرة مثل الأصياغ الاصطناعية والمعادن الثقيلة ومبيدات الآفات من الأوساط المائية لذا يتواجد في فلاتر الماء. قارئنا في هذا العمل سعة الامتزاز

الأفضل بين أربع عينات من الكربون المنشط المحضرة في مخابر كلية العلوم من مخلفات نبات العصفر والمنشط بنسب مختلفة من هيدروكسيد البوتاسيوم عند درجة حرارة $^{\circ}\text{C}$ (700)، ودراسة الشروط الأمثل لعملية الامتزاز لأحد المعادن الثقيلة وهو الكروم السادس، وتتبع أهمية المقالة من دراسة جميع المؤثرات على عملية امتزاز شوارد الكروم السادس من المحاليل المائية لمعرفة الشروط الأمثل لعملية الامتزاز من تركيز وזמן ملامسة درجة حرارة وPH الوسط لإجراء هذه العملية بأقل تكلفة ممكنة وأكثر جودة وذلك لتوفير الوقت والمال عند تطبيق هذه العملية بكفاءة عالية. وذلك من خلال مقارنة سعة الامتزاز الأفضل بين أربع عينات من الكربون المنشط لامتزاز شوارد الكروم السادس. ودراسة الشروط المثلى لامتزاز.

حُضِرَ الكربون المنشط من عدة مخلفات واستعماله لامتزاز الملوثات من المحاليل المائية إذ حضر Wang الكربون المنشط من قش دوار الشمس والقنب لتحسين جودة الكربون المنشط، تكون تأثيرات المنشطات المختلفة أفضل من المنشط الفردي في تحضير الكربون المنشط من القش، ووجدت الدراسة أنه عندما تكون نسبة تركيز الملوثات الأولية إلى تركيز المادة الماصة 30، فإن كفاءات إزالة المعادن الثقيلة (Wang et al., 2021) تقريرًا 90% (Cr(III) و Fe(III)).

استُعمل الفحم الحيوي من قبل Kapoor وزملائه على نطاق واسع في السيطرة على تلوث المياه العادمة بسبب استقراره العالي، وخصائص السطح الممتازة، والبنية المسامية المتطرفة، والمجموعات الوظيفية الغنية على السطح. في هذا الفصل، استُعرض التقدم البحثي في تطبيق الفحم الحيوي في السنوات الأخيرة. لِحُصَن تطبيق تقنية الفحم الحيوي في إزالة المعادن الثقيلة، والملوثات العضوية، والعناصر الغذائية من النيتروجين والفوسفور. في الواقع، على الرغم من أن الفحم الحيوي يُصنع من النفايات الزراعية والصناعية مثل قش المحاصيل، والقمامات، والحمأة المجففة، والرواسب عن طريق التحلل الحراري، فإنه يؤدي مُهمة في المعالجة البيئية، ما يعكس

مفهوم "معالجة النفايات بالنفايات". وبالتالي، يعد الفحم الحيوى مادة جديدة واقتصادية وبيئة يمكن استعمالها في تكنولوجيا معالجة المياه الملوثة، (Kapoor et al., 2022)

2-المواد وطرائق البحث:

1-الأجهزة والأدوات:

مقياس درجة الحموضة pH رقمي من شركة (WinCo, Taiwan) دقتها 0.01، خلاط مغناطيسى مع سخان من شركة (Thermomix USA)، ميزان حساس بدقة $\pm 0.001\text{g}$ من شركة (DENSI, Turkey)، جهاز سبيكتروفوتومتر من شركة (OPTIMUM)، أدوات مخبرية زجاجية مختلفة، قمع بوخرن، مرشحات ميكروية دقتها $0.45\mu\text{m}$.

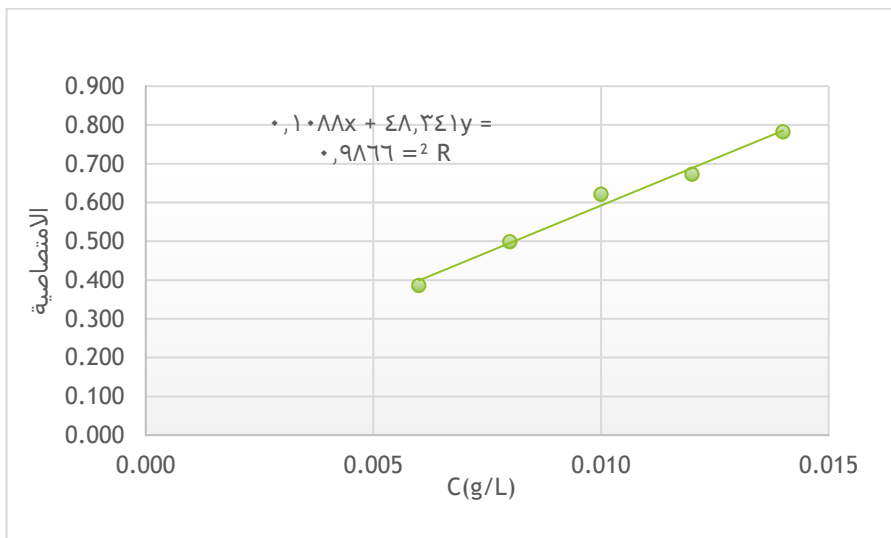
2-المواد الكيميائية:

هيدروكسيد البوتاسيوم (KOH) نقاؤته (99%wt) CAS:1310-58-3 من شركة Kimya LAB. حمض كلور الماء (HCl) نقاؤته (36%wt) كثافته (1.18g/ml) من شركة Laboratory Reagent (ZAG Kimya). ثاني كرومات البوتاسيوم $(K_2Cr_2O_7)$ نقاؤته (99%wt) من شركة (ZAG Kimya). أربع عينات فحم منشط محضر في مخابر كلية العلوم من مخلفات نبات العصفر ومنشط بهيدروكسيد البوتاسيوم بنسب مختلفة (1:1، 1:2، 1:3، 1:4) (KOH:فحm) ورمزات على الترتيب (KC-4, KC-3, KC-2, KC-1).

3-دراسة امتناز الكروم السادس من المحاليل المائية:

حضرت خمسة محاليل من Cr(VI) بتركيز مختلفة $10-8-6\text{mg/L}$ (14-12) انطلاقاً من محلول الأم لشوارد الكروم السادس (Cr(VI) ثم قيست

الامتصاصية لمحاليل السابقة عند الطول الموجة 370nm ومن ثم رُسمت العلاقة بين الامتصاصية بدلالة تركيز Cr(VI) كما هو موضح بالشكل (1):



الشكل (1) منحني السلسلة العيارية لمحاليل الكروم المحضر

3-1-اختبار سعة الامتراز لعينات الفحم المحضر:
 أخذ 0.1g من كل عينة من عينات الفحم الأربعة المحضر تبعاً لكمية 100ml KOH المستعمل في التنشيط ووضعه كل عينة في دورق مخروطي سعة 50ml يحوي على 50ml من محلول أيون الكروم السادس بتركيز ثابت 1g/L ودرجة حموضة pH=5.2 ودرجة حرارة ثابته 8°c ثم وضعت المحاليل الأربعة على رجاج لمدة 24h، بعد ذلك رُشحت المحاليل ومن ثم قياس الامتصاصية لكل محلول من المحاليل الأربعة عند الطول الموجي 370nm وذلك بعد التمديد لتصبح الامتصاصية ضمن امتصاصية السلسلة العيارية فكان التركيز حسب الجدول (1) حُسبت الكمية الممترزة حسب القانون التالي:

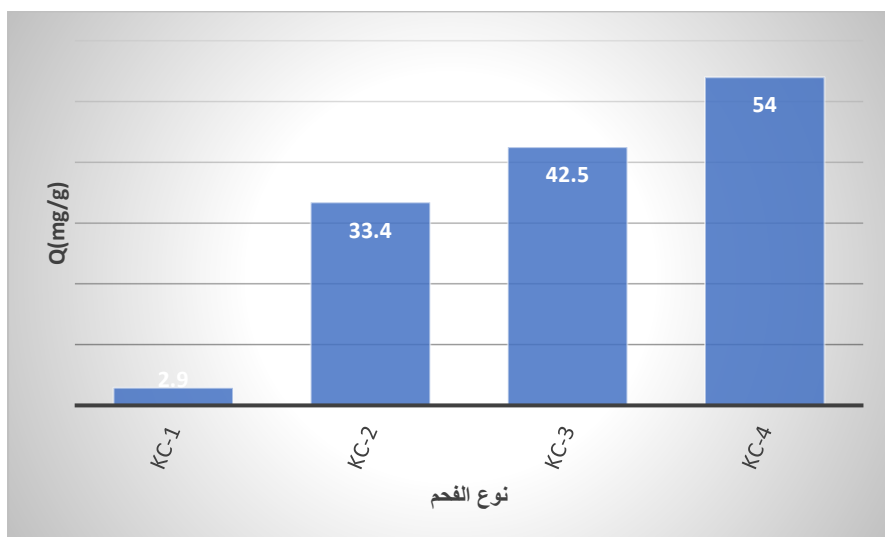
$$Q = \frac{V(C_0 - C)}{m} \quad (1)$$

إذ Q سعة الامتاز من الكروم السادس على سطح الفحم المنشط (mg/g), V (ml) حجم محلول المائي (L), C تركيز محلول المائي ($Cr(VI)$) بعد عملية الامتاز (mg/L), C_0 تركيز محلول المائي ($Cr(VI)$) قبل عملية الامتاز (mg/L), m كتلة الفحم المنشط المستعمل (g). رتب النتائج في الجدول التالي:

الجدول (1): مقارنة سعة الامتاز للعينات الأربع المنشطة بنسب مختلفة

العينة	$V(ml)$	$m(g)$	$C_0(g/l)$	$C(g/l)$	$Q(mg/g)$
KC-1	50	0.1	1	0.9942	2.9
KC-2	50	0.1	1	0.9332	33.4
KC-3	50	0.1	1	0.915	42.5
KC-4	50	0.1	1	0.892	54

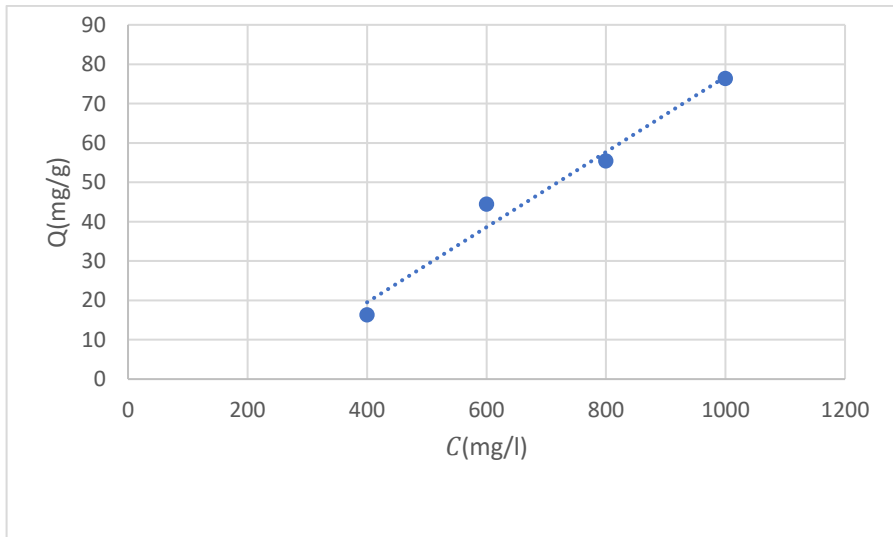
رسمت العلاقة بين تغير سعة الامتاز بدلالة نوع عينة الفحم المنشط كما هو موضح بالشكل (2)، إذ تبين النتائج أن عينة الفحم المنشط (4:1) (فحم: KOH) أعطت أفضل قيمة لسعة الامتاز.



الشكل (2) العلاقة بين سعة الامتاز بدلالة تغيير نوع الفحم المنشط

2-3-2- دراسة منحنى الامتاز متساوي الدرجة:

رسمت العلاقة بين تغيرات سعة الامتاز بدلالة التركيز التوازي لشوارد الكروم السادس كما هو موضح بالشكل (3).



الشكل (1) يمثل منحنى امتاز متساوي الدرجة لأيونات الكروم السادس

تبين النتائج أن سعة الامتاز متناسبة طرداً خطياً مع تركيز شوارد الكروم السادس وبالتالي فإن منحنى الامتاز متساوي الدرجة من النوع C حسب جيليز ورفاقه أي أن الامتاز يحدث ضمن مسام الفحم وليس على السطح.

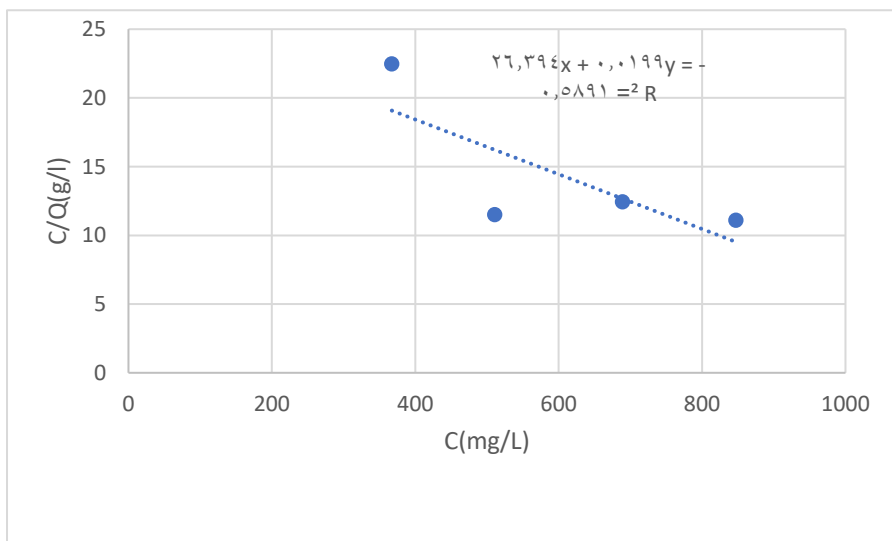
2-3-3- تطبيق علاقة لانغموير وفرنديش لتحليل بيانات الامتاز:

يعبر عن علاقة لانغموير الامتازية بشكلها الخطى بالعلاقة التالية:

$$\frac{C}{Q} = \frac{C}{Q_m} + \frac{1}{Q_m * b} \quad (1)$$

إذ تمثل Q_m سعة الطبقة الأحادية و b ثابت لانغموير.

برسم العلاقة بين $\frac{C}{Q}$ بدلالة C كما هو موضح بالشكل (4):



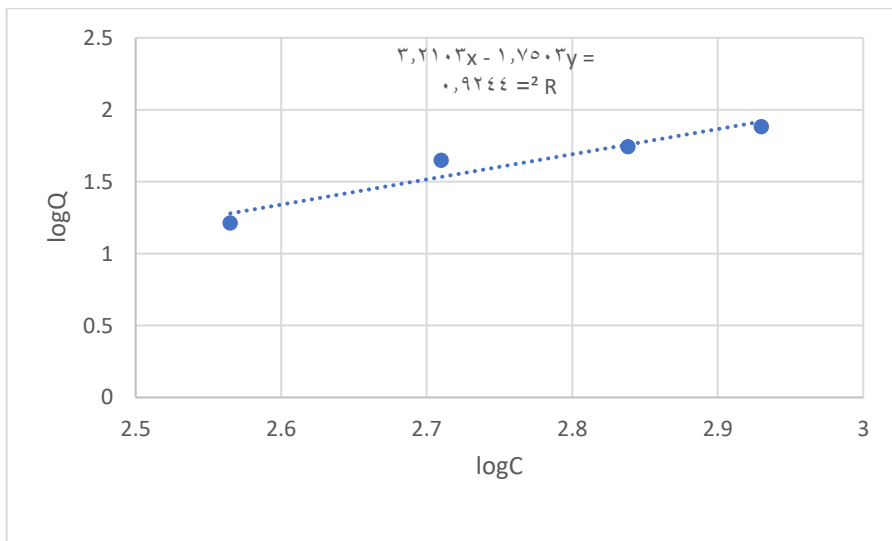
الشكل (2) (يمثل تطبيق علاقة لانغموير

من المنحني البياني نلاحظ $R^2 = 0.5891$ وبالتالي فإن امتراز شوارد الكروم على سطح الفحم المنشط لا يطابق علاقة لانغموير.

يعبر عن علاقة فرندلش الامترازية بشكلها الخطى بالعلاقة التالية:

$$\log Q = \log K + \frac{1}{n} \log C \quad (2)$$

حيث إن n و K يمثلان ثابت فرندلش اللذان يعبران عن سعة الامتراز وشدة، برسم بدلالة $\log C$ كما هو موضح بالشكل (5):



الشكل (3) يمثل تطبيق علاقة فرنديش

يلاحظ من المنحى أن $R^2 = 0.9244$ وبالتالي فإن امتراز شوارد الكروم السادس على سطح الفحم المنشط أقرب لنموذج فرنديش.

بالمقارنة بين معامل الارتباط عند تطبيق علاقة لانغموير حيث قيمته $R^2 = 0.5891$ ومعامل الارتباط عند تطبيق علاقة فرنديش $R^2 = 0.9244$ نستنتج أن امتراز الكروم السادس على سطح الفحم المنشط من متعدد الطبقات اقرب لنموذج فرنديش.

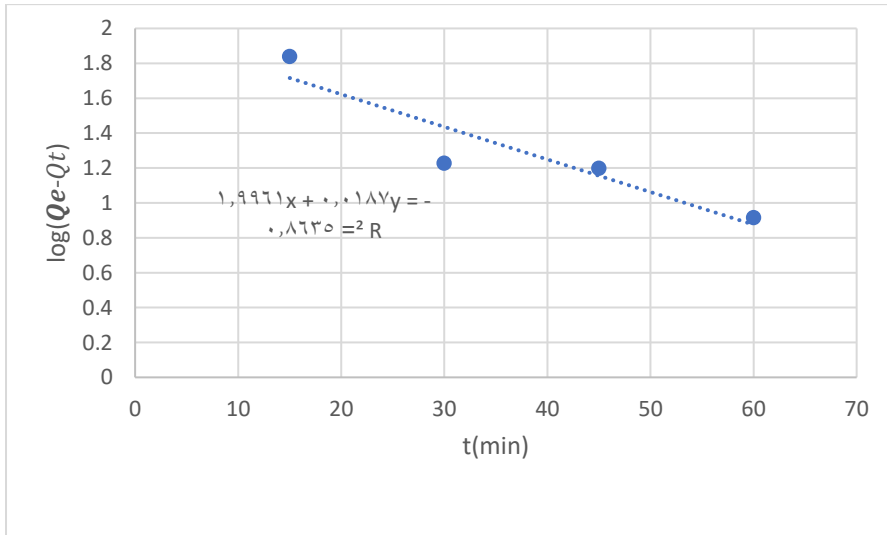
وتكون قيمة الثوابت في علاقه فرنديش: $K=1622.93079$, $n=0.57133$.

4-4-4-2 دراسة حرکية امتراز (Cr(VI) على سطح الفحم:

تعطى علاقه سرعة حرکية التفاعل من المرتبة الأولى الظاهرية

$$\log(Q_e - Q_t) = \log(Q_e) - \frac{K_1}{2.303} t \quad (3)$$

إذ أن K_1 ثابت سرعة التفاعل من المرتبة الأولى الظاهرى، و Q_e سعة الامتراز العظمى، و Q_t كمية الامتراز في اللحظة t ، برسم $\log(Q_e - Q_t)$ بدلالة t ينتج الخط المستقيم ميله $s = -\frac{K_1}{2.303}$ ومنه فإن $K_1 = -0.00187 \text{ min}^{-1}$ وذلك حسب المخطط الموضح بالشكل(6):



الشكل (4) يمثل علاقة رتبة 1 ظاهرية للكروم

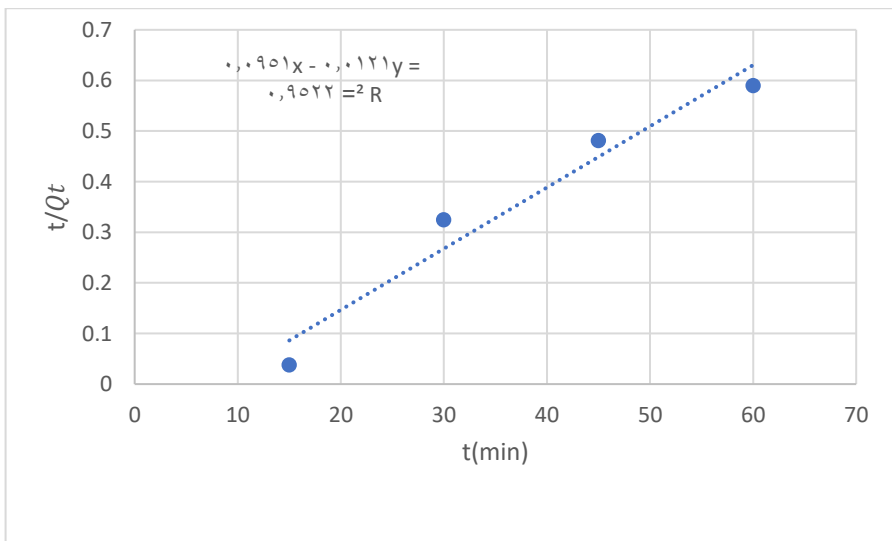
تعطى علاقة سرعة حركة التفاعل من المرتبة الثانية الظاهرية بالعلاقة:

$$\frac{t}{Q_t} = \frac{1}{K_2 * Q_e^2} + \frac{1}{Q_e} t \quad (4)$$

إذ إن K_2 ثابت سرعة التفاعل من المرتبة الثانية الظاهري، و Q_e سعة الامتاز العظمى، و Q_t كمية الامتاز في اللحظة t ، برسم $\frac{t}{Q_t}$ بدلالة t ينتج الخط المستقيم ميله $s = \frac{1}{Q_e}$ ومنه

$$K_2 = -0.00153954(g) \quad \text{فإن} \quad Q_e = 82.645 \text{mg/g}$$

وذلك حسب المخطط الموضح بالشكل (7):



الشكل (7) يمثل علاقة رتبة 2 ظاهرية للكروم

من مقارنة قيم R^2 في الشكلين (6-7) نستنتج أن التفاعل من المرتبة الثانية الظاهرية إذ إن قيمة R^2 تكون أقرب إلى الواحد.

4-5-5-العوامل المؤثرة على امتراز شوارد الكروم السادس:

2-2-3-5-1-تغغير زمن التلامس:

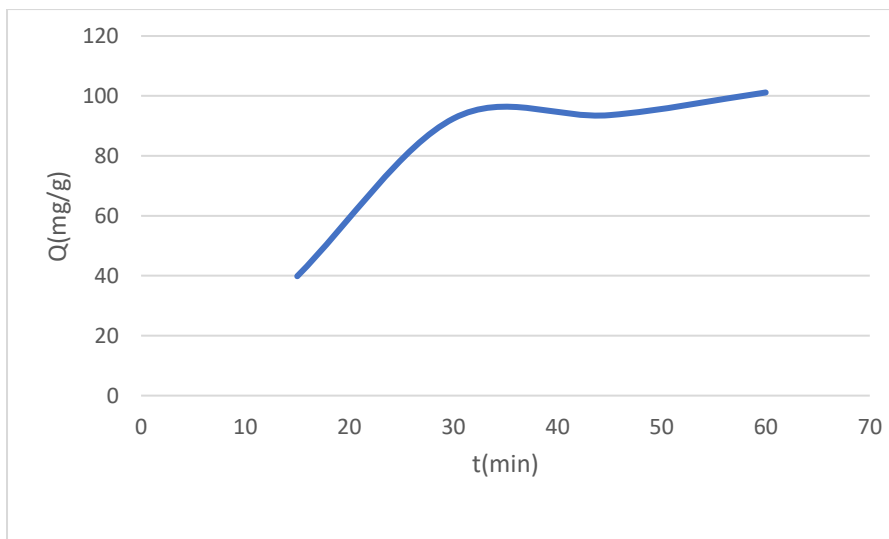
أخذت أربع كميات متساوية من الفحم المنشط المحضر كل منها 0.05g ووضعت كل كمية في دورق مخروطي سعته 100ml يحوي 30ml من شوارد الكروم السادس تركيزه $0.5g/L$. حركت العينات الأربع بواسطة رجاج ميكانيكي بأزمنة مختلفة كل منها min (15-30-45-60) على الترتيب وذلك عند درجة حرارة $15^\circ C$.

رُشّحت العينات ومن ثم قياس الامتصاصية للرشاحة لكل محلول عند طول موجة 370nm، والجدول (2) يوضح النتائج التي وُصل إليها.

الجدول (2): يمثل تغير كمية الامتراز بتغير الزمن

العينة	T(min)	V(ml)	m(g)	$C_0(g/l)$	$C(g/l)$	$Q(mg/g)$
1	15	30	0.05	0.5	0.4336	39.84
2	30	30	0.05	0.5	0.3459	92.46
3	45	30	0.05	0.5	0.344	93.6
4	60	30	0.05	0.5	0.3314	101.16

رسمت العلاقة بين سعة الامتراز بدلالة الزمن كما هو موضح بالشكل (8)، إذ تبين أن سعة الامتراز تزداد بازدياد زمن التلامس وبعد الزمن 30min تقريباً تثبت قيمة سعة الامتراز أو يكون التغير طفيف وعليه فإن زمن التلامس الأفضل هو 30min.



الشكل (5) يمثل تأثير زمن التلامس

2-5-4-2- تحديد pH الوسط الأنسب للامتراز :

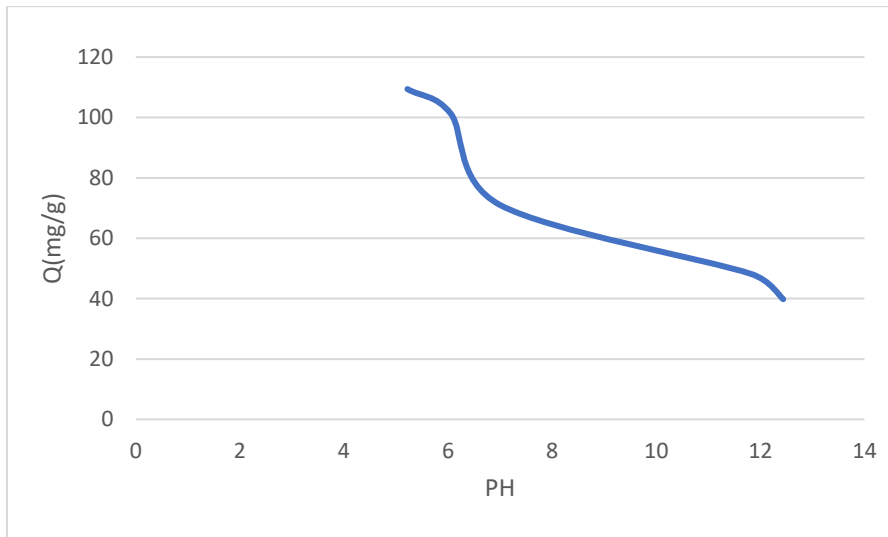
أخذت خمس كميات من الفحم المنشط المحضر وزن كل منها 0.1g ووضعت كل منها في دورق مخروطي سعة 100ml تحوي 20ml من محلول شوارد

الكروم السداسي ثم ضبط قيم pH محاليل العينات الخمس عند القيم (5.2- 6.05- 11.83- 12.44- 7) لكل منها على الترتيب. وضيغت العينات على رجاج ميكانيكي لمدة 50min وذلك عند درجة حرارة 16°C ثم رشحت المحاليل السابقة وقيست الامتصاصية عند الطول الموجي 370nm، يوضح الجدول (3) النتائج التي وصل إليها.

الجدول (3): يمثل تغير كمية الامتاز بغير pH

العينة	V(ml)	m(g)	pH	$C_0(\text{g/l})$	C(g/l)	Q(mg/g)
1	20	0.1	5.2	1	0.453	109.4
2	20	0.1	6.05	1	0.4935	101.3
3	20	0.1	7	1	0.645	71
4	20	0.1	11.83	1	0.7594	48.12
5	20	0.1	12.44	1	0.801	39.8

رُسمت العلاقة بين سعة الامتاز بدلالة pH الوسط كما هو موضح في الشكل (9)، إذ تبين النتائج أن سعة الامتاز تكون أكبر ما يمكن عند pH=5.2 للوسط وبالتالي فإن امتاز شوارد الكروم السداسي في الوسط الحمضي يكون أفضل ما يمكن.



الشكل(9) يمثل تأثير تغيير PH الوسط

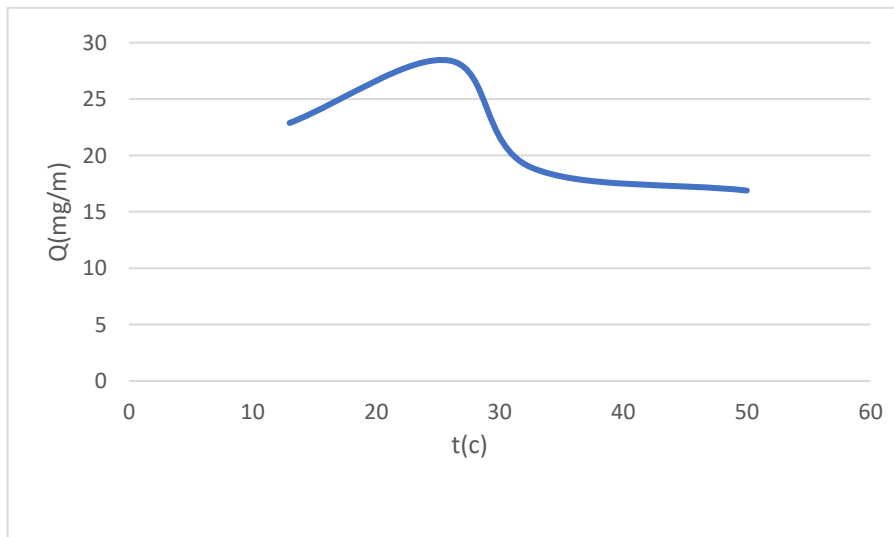
3-4-5-3- دراسة تأثير درجة الحرارة:

أخذت أربع كميات من الفحم المنشط المحضر وزن كل منها 0.1g ووضعت كل منها في دورق مخروطي سعة 100ml تحوي 40ml من محلول شوارد الكروم السادس بتركيز ثابت 0.5g/L ووضعت كل أرلين ماير على سخان كهربائي ضمن حمام مائي وضبطت حرارة المحاليل (50-32.5-26-13) مدة 30min مع التحريك. ثم رشحت المحاليل السابقة وقيس الامتصاصية عند الطول الموجي 370nm، يوضح الجدول (4) النتائج التي وصل إليها.

الجدول (4): يمثل تغير كمية الامتاز بـ تغير درجة الحرارة

العينة	V(ml)	m(g)	T($^{\circ}$ C)	$C_0(g/l)$	C(g/l)	Q(mg/g)
1	40	0.1	13	0.5	0.4428	22.88
2	40	0.1	26	0.5	0.429	28.4
3	40	0.1	32.5	0.5	0.4526	18.96
4	40	0.1	50	0.5	0.45779	16.884

رسمت العلاقة بين سعة الامتاز بـ دالة $T C^{\circ}$ الوسط كما هو موضح في الشكل (10). إذ تبين النتائج أن سعة الامتاز تكون أكبر ما يمكن عند درجة حرارة $26 C^{\circ}$ وبالتالي فإن امتاز شوارد الكروم السادس عند درجة حرارة الغرفة يكون أفضل ما يمكن.



الشكل (10) يمثل تأثير درجة الحرارة

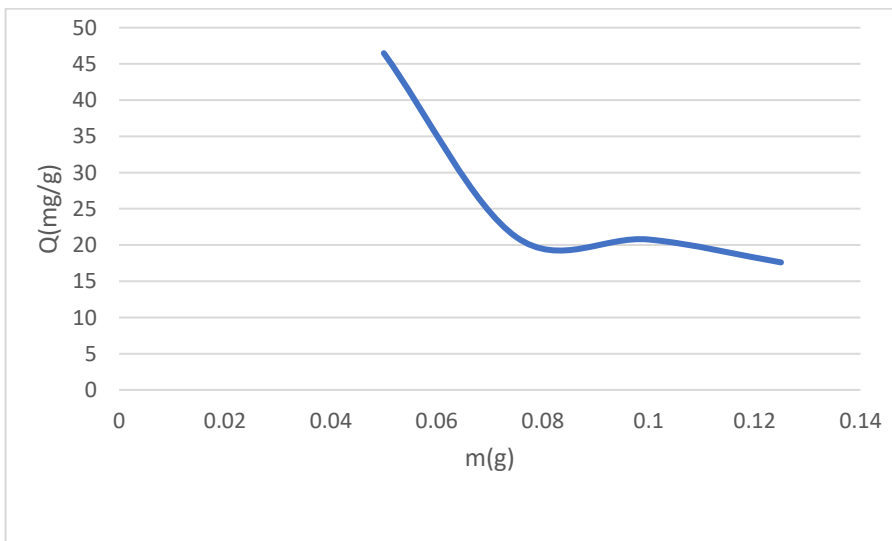
2-4-5-4-2-تأثير تغيير كمية الفحم:

أخذت أربع كميات من الفحم المنشط المحضر حسب الوزن التالي (0.05-0.1-0.125-0.125g) ووضعت كل منها في دورق مخروطي سعة 100ml تحوي 40ml من محلول شوارد الكروم السداسي بتركيز ثابت 5g/L ووضعت على رجاج ميكانيكي مدة 30min وذلك عند درجة حرارة 12°C . ثم رشحت المحاليل السابقة وقيس الامتصاصية عند الطول الموجي 370nm ، يوضح الجدول (5) النتائج التي وصل إليها.

الجدول (5): يمثل تغير كمية الامتاز بغير كتلة الفحم

العينة	$V(\text{ml})$	$m(\text{g})$	$C_0(\text{g/l})$	$C(\text{g/l})$	$Q(\text{mg/g})$
1	40	0.05	0.5	0.4419	46.48
2	40	0.075	0.5	0.4605	21.1
3	40	0.1	0.5	0.4481	20.76
4	40	0.125	0.5	0.446	17.6

رسمت العلاقة بين سعة الامتاز بدلالة كتلة الفحم mg كما هو موضح في الشكل (11). إذ تبين النتائج أن سعة الامتاز تكون أكبر ما يمكن عند $m=0.05\text{g}$ وبالتالي فإن امتاز شوارد الكروم السداسي عند كميات الفحم المنخفضة تكون أفضل ما يمكن.



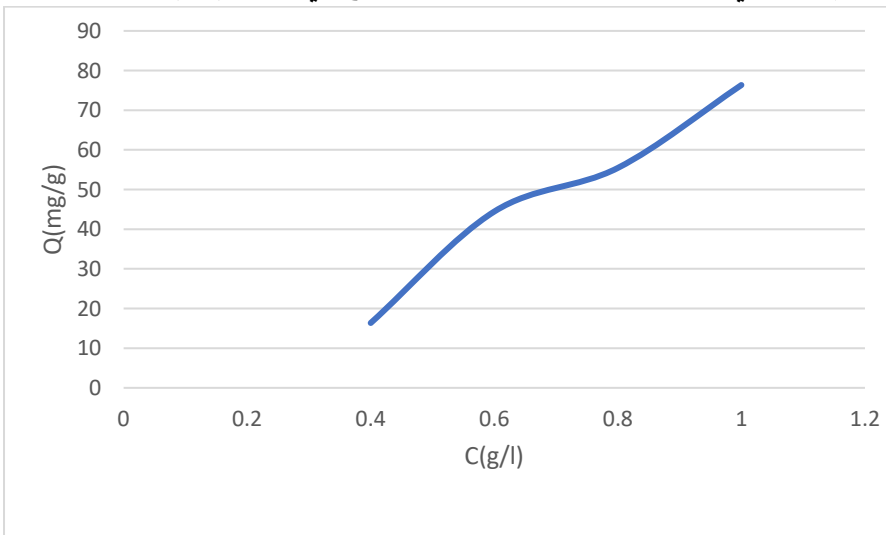
الشكل (11) يمثل تأثير تغيير كتلة الفحم

5-4-5-5-تأثير تغيير تركيز Cr(VI) :

أخذت أربع كميات من الفحم المنشط المحضر وزن كل منها 0.1g ووضعت كل منها في دورق مخروطي سعة 100ml تحوي 50ml من محلول شوارد الكروم السادس بتركيز متغيرة L^{-1} ($0.4-0.6-0.8-1\text{g/L}$) ووضعت على رجاج ميكانيكي مدة 30min مع التحريك عند درجة حرارة 12°C . ثم رشحت المحاليل السابقة وقيمت الامتصاصية عند الطول الموجي 370nm ، يوضح الجدول (5) النتائج التي وصلت إليها. الجدول (6): يمثل تغيير كمية الامتازاز بتغيير التركيز

العينة	$V(\text{ml})$	$m(\text{g})$	$C_0(\text{g/l})$	$C(\text{g/l})$	$Q(\text{mg/g})$
1	50	0.1	0.4	0.3673	16.35
2	50	0.1	0.6	0.5111	44.45
3	50	0.1	0.8	0.6891	55.45
4	50	0.1	1	0.8473	76.35

رُسمت العلاقة بين كمية الامتاز بدلالة التركيز الابتدائي كما هو في الشكل (12) الذي يدل على أن كمية الامتاز الأفضل عند التراكيز العالية أي أن امتاز شوارد الكروم السادس تزداد بزيادة التركيز كما هو موضح في الشكل (12):



الشكل (12) يمثل تأثير تغيير تركيز الكروم

3- النتائج والمناقشة:

تبين حسب الدراسة أن أفضل سعة امتاز لشوارد الكروم السادس هي العينة التي حضرت باستعمال أربعة أضعاف كتلة الفحم من هيدروكسيد البوتاسيوم (KOH: فحم) (1:4). وأن منحني الامتاز متساوي الدرجة لشوارد الكروم السادس خطى أي من النوع C حسب جليز ورفاقه أي الامتاز يحدث ضمن مسام الفحم وليس على السطح، وأن امتاز شوارد الكروم السادس على سطح الفحم المنشط المحضر أقرب لنموذج فرننلش أي امتاز متعدد الطبقات. وكان التفاعل من المرتبة الثانية الظاهرية لأن معامل الارتباط R^2 كانت قيمته أقرب إلى الواحد عند تطبيق علاقة السرعة من المرتبة الثانية الظاهرية. وإن الزمن الأمثل لامتاز شوارد الكروم السادس على سطح الفحم المنشط المحضر 30min، وإن درجة حموضة الوسط الأفضل لامتاز شوارد الكروم السادس عند $PH=5.2$ أي أن الامتاز الكروم السادس في الوسط

المحضي أفضل وعند درجة حرارة 25 تقريباً. وسعة الامتياز تتحفظ بزيادة كتلة الفحم المنشط وتزداد بزيادة تركيز شوارد الكروم السادس.

-المراجع:

1. Ali, K., Zeidan, H., & Martí, M. E. (2021). Evaluation of olive pomace for the separation of anionic dyes from aqueous solutions: Kinetic, thermodynamic, and isotherm studies. *Desalination and Water Treatment*, 227, 412–424. <https://doi.org/10.5004/dwt.2021.27285>
2. Corral-Bobadilla, M., Lostado-Lorza, R., Somovilla-Gómez, F., & Escribano-García, R. (2021). Effective use of activated carbon from olive stone waste in the biosorption removal of Fe(III) ions from aqueous solutions. *Journal of Cleaner Production*, 294. <https://doi.org/10.1016/j.jclepro.2021.126332>
3. Hussein, A., Mohammed, H., Ali, R., & Sulyman, E. (2023). Preparation of Activated Carbon from Mango Nuclei and Study of Its Physical Properties and Chemical Using Carbonization and Chemical Treatment. *College Of Basic Education Research Journal*, 19(1), 805–816. <https://doi.org/10.33899/berj.2023.178139>
4. K. HAMMOUD, F., Ali HUSSEIN, A., & Z.SULYMAN, E. (2022). Preparation of Activated Carbon From (Pistacia Khinjuk Peels) and Study Its Chemical Properties. *MINAR International Journal of Applied Sciences and Technology*, 04(03), 240–248. <https://doi.org/10.47832/2717-8234.12.25>
5. Kapoor, R. T., Treichel, H., & Shah, M. P. (2022). Biochar and its Application in Bioremediation. In *Biochar and its Application in Bioremediation*. <https://doi.org/10.1007/978-981-16-4059-9>
6. Miretzky, P., & Cirelli, A. F. (2010). Cr (VI) and Cr (III) removal from aqueous solution by raw and modified lignocellulosic materials : A review. *Journal of Hazardous Materials*, 180(1–3), 1–19. <https://doi.org/10.1016/j.jhazmat.2010.04.060>
7. Reza, M. S., Yun, C. S., Afroze, S., Radenahmad, N., Bakar, M. S. A., Saidur, R., Taweekun, J., & Azad, A. K. (2020). Preparation of activated carbon from biomass and its'

- applications in water and gas purification, a review. *Arab Journal of Basic and Applied Sciences*, 27(1), 208–238. <https://doi.org/10.1080/25765299.2020.1766799>
8. Wang, H., Xu, J., Liu, X., & Sheng, L. (2021). Preparation of straw activated carbon and its application in wastewater treatment: A review. *Journal of Cleaner Production*, 283(xxxx), 124671. <https://doi.org/10.1016/j.jclepro.2020.124671>
9. Yunus, Z. M. (2022). Advanced methods for activated carbon from agriculture wastes; a comprehensive review. *International Journal of Environmental Analytical Chemistry*, 102(1), 134–158. <https://doi.org/10.1080/03067319.2020.1717477>